

**Precision Measurement of the Prompt Photon Cross Section in  $p\bar{p}$  Collisions at  $\sqrt{s} = 1.8$  TeV  
[Phys. Rev. Lett. 73, 2662 (1994)]**

F. Abe, M. G. Albrow, D. Amidei, J. Antos, C. Anway-Wiese, G. Apollinari, H. Areti, M. Atac, P. Auchincloss, F. Azfar, P. Azzi, N. Bacchetta, W. Badgett, M. W. Bailey, J. Bao, P. de Barbaro, A. Barbaro-Galtieri, V. E. Barnes, B. A. Barnett, P. Bartalini, G. Bauer, T. Baumann, F. Bedeschi, S. Behrends, S. Belforte, G. Bellettini, J. Bellinger, D. Benjamin, J. Benlloch, J. Bensinger, D. Benton, A. Beretvas, J. P. Berge, S. Bertolucci, A. Bhatti, K. Biery, M. Binkley, F. Bird, D. Bisello, R. E. Blair, C. Blocker, A. Bodek, W. Bokhari, V. Bolognesi, D. Bortoletto, C. Boswell, T. Boulos, G. Brandenburg, E. Buckley-Geer, H. S. Budd, K. Burkett, G. Busetto, A. Byon-Wagner, K. L. Byrum, J. Cammerata, C. Campagnari, M. Campbell, A. Caner, W. Carithers, D. Carlsmith, A. Castro, Y. Cen, F. Cervelli, J. Chapman, M.-T. Cheng, G. Chiarelli, T. Chikamatsu, S. Cihangir, A. G. Clark, M. Cobal, M. Contreras, J. Conway, J. Cooper, M. Cordelli, D. Crane, J. D. Cunningham, T. Daniels, F. DeJongh, S. Delchamps, S. Dell'Agnello, M. Dell'Orso, L. Demortier, B. Denby, M. Deninno, P. F. Derwent, T. Devlin, M. Dickson, S. Donati, R. B. Drucker, A. Dunn, K. Einsweiler, J. E. Elias, R. Ely, E. Engels, Jr., S. Eno, D. Errede, S. Errede, Q. Fan, B. Farhat, I. Fiori, B. Flaughner, G. W. Foster, M. Franklin, M. Frautschi, J. Freeman, J. Friedman, H. Frisch, A. Fry, T. A. Fuess, Y. Fukui, S. Funaki, G. Gagliardi, S. Galeotti, M. Gallinaro, A. F. Garfinkel, S. Geer, D. W. Gerdes, P. Giannetti, N. Giokaris, P. Giromini, L. Gladney, D. Glenzinski, M. Gold, J. Gonzalez, A. Gordon, A. T. Goshaw, K. Goulianos, H. Grassmann, A. Grewal, G. Grieco, L. Groer, C. Grosso-Pilcher, C. Haber, S. R. Hahn, R. Hamilton, R. Handler, R. M. Hans, K. Hara, B. Harral, R. M. Harris, S. A. Hauger, J. Hauser, C. Hawk, J. Heinrich, D. Cronin-Hennessy, R. Hollebeek, L. Holloway, A. Holscher, S. Hong, G. Houk, P. Hu, B. T. Huffman, R. Hughes, P. Hurst, J. Huston, J. Huth, J. Hylen, M. Incagli, J. Incandela, H. Iso, H. Jensen, C. P. Jessop, U. Joshi, R. W. Kadel, E. Kajfasz, T. Kamon, T. Kaneko, D. A. Kardelis, H. Kasha, Y. Kato, L. Keeble, R. D. Kennedy, R. Kephart, P. Kesten, D. Kestenbaum, R. M. Keup, H. Keutelian, F. Keyvan, D. H. Kim, H. S. Kim, S. B. Kim, S. H. Kim, Y. K. Kim, L. Kirsch, P. Koehn, K. Kondo, J. Konigsberg, S. Kopp, K. Kordas, W. Koska, E. Kovacs, W. Kowald, M. Krasberg, J. Kroll, M. Kruse, S. E. Kuhlmann, E. Kuns, A. T. Laasanen, S. Lammel, J. I. Lamoureux, T. LeCompte, S. Leone, J. D. Lewis, P. Limon, M. Lindgren, T. M. Liss, N. Lockyer, C. Loomis, O. Long, M. Loreti, E. H. Low, J. Lu, D. Lucchesi, C. B. Luchini, P. Lukens, P. Maas, K. Maeshima, A. Maghakian, P. Maksimovic, M. Mangano, J. Mansour, M. Mariotti, J. P. Marriner, A. Martin, J. A. J. Matthews, R. Mattingly, P. McIntyre, P. Melese, A. Menzione, E. Meschi, G. Michail, S. Mikamo, M. Miller, R. Miller, T. Mimashi, S. Miscetti, M. Mishina, H. Mitsushio, S. Miyashita, Y. Morita, S. Moulding, J. Mueller, A. Mukherjee, T. Muller, P. Musgrave, L. F. Nakae, I. Nakano, C. Nelson, D. Neuberger, C. Newman-Holmes, L. Nodulman, S. Ogawa, S. H. Oh, K. E. Ohl, R. Oishi, T. Okusawa, C. Pagliarone, R. Paoletti, V. Papadimitriou, S. Park, J. Patrick, G. Pauletta, M. Paulini, L. Pescara, M. D. Peters, T. J. Phillips, G. Piacentino, M. Pillai, R. Plunkett, L. Pondrom, N. Produit, J. Proudfoot, F. Ptohos, G. Punzi, K. Ragan, F. Rimondi, L. Ristori, M. Roach-Bellino, W. J. Robertson, T. Rodrigo, J. Romano, L. Rosenson, W. K. Sakumoto, D. Saltzberg, A. Sansoni, V. Scarpine, A. Schindler, P. Schlabach, E. E. Schmidt, M. P. Schmidt, O. Schneider, G. F. Sciacca, A. Scribano, S. Segler, S. Seidel, Y. Seiya, G. Sganos, A. Sgolacchia, M. Shapiro, N. M. Shaw, Q. Shen, P. F. Shepard, M. Shimojima, M. Shochet, J. Siegrist, A. Sill, P. Sinervo, P. Singh, J. Skarha, K. Sliwa, D. A. Smith, F. D. Snider, L. Song, T. Song, J. Spalding, L. Spiegel, P. Sphicas, A. Spies, L. Stanco, J. Steele, A. Stefanini, K. Strahl, J. Strait, D. Stuart, G. Sullivan, K. Sumorok, R. L. Swartz, Jr., T. Takahashi, K. Takikawa, F. Tartarelli, W. Taylor, Y. Teramoto, S. Tether, D. Theriot, J. Thomas, T. L. Thomas, R. Thun, M. Timko, P. Tipton, A. Titov, S. Tkaczyk, K. Tollefson, A. Tollestrup, J. Tonnison, J. F. de Troconiz, J. Tseng, M. Turcotte, N. Turini, N. Uemura, F. Ukegawa, G. Unal, S. van den Brink, S. Vejckic III, R. Vidal, M. Vondracek, R. G. Wagner, R. L. Wagner, N. Wainer, R. C. Walker, G. Wang, J. Wang, M. J. Wang, Q. F. Wang, A. Warburton, G. Watts, T. Watts, R. Webb, C. Wendt, H. Wenzel, W. C. Wester III, T. Westhusing, A. B. Wicklund, E. Wicklund, R. Wilkinson, H. H. Williams, P. Wilson, B. L. Winer, J. Wolinski, D. Y. Wu, X. Wu, J. Wyss, A. Yagil, W. Yao, K. Yasuoka, Y. Ye, G. P. Yeh, P. Yeh, M. Yin, J. Yoh, T. Yoshida, D. Yovanovitch, I. Yu, J. C. Yun, A. Zanetti, F. Zetti, L. Zhang, S. Zhang, W. Zhang, and S. Zucchelli

(CDF Collaboration)

Figures 2–4 were incorrectly printed in this paper. All figures (Figs. 1–4) are presented below in proper order, correctly captioned.

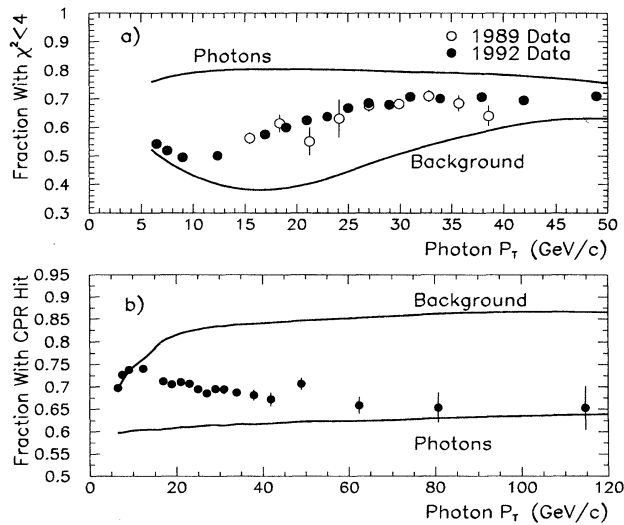


FIG. 1. Illustration of the photon background subtraction methods. In (a) is shown the profile method, with the fraction of photon candidates with  $\chi^2 < 4$  ( $\epsilon$ , the data points) along with the predictions for single photons ( $\epsilon_\gamma$ ) and background ( $\epsilon_b$ ). In (b) the same is shown for the conversion method, with  $\epsilon$  in this case being the fraction of photon candidates with a CPR signal.

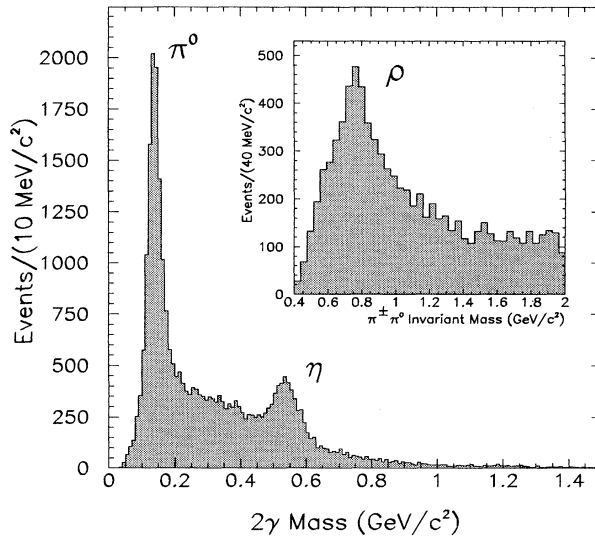


FIG. 2. The two-photon mass distribution, displaying reconstructed  $\pi^0$  and  $\eta$  mesons. Inset is the reconstructed charged  $\rho$  meson peak. All three reconstructed mesons are used for the determination of the CPR conversion rate uncertainties.

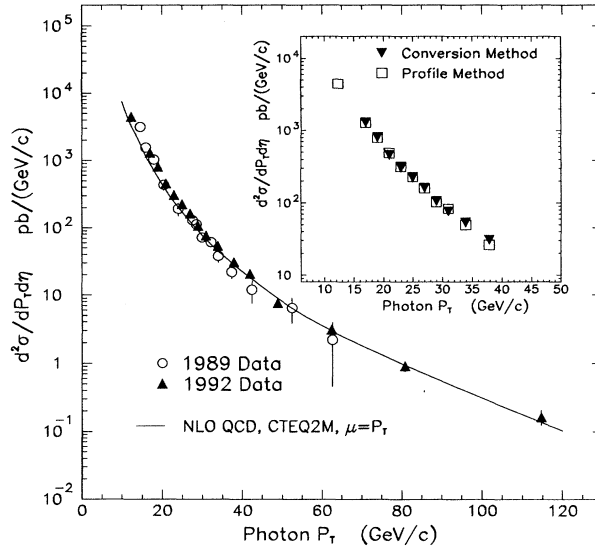


FIG. 3. The inclusive isolated prompt photon cross section from 1989 and 1992 compared with a next-to-leading order QCD prediction. Inset is the comparison of the two background subtraction methods in their region of overlap.

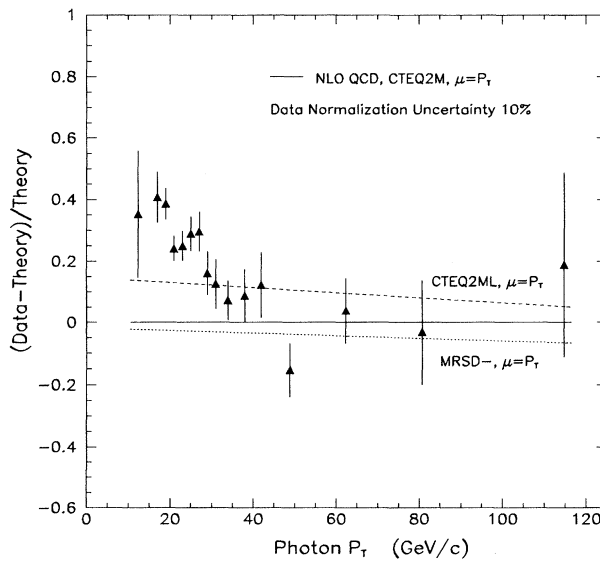


FIG. 4. The prompt photon cross section measurement is compared with next-to-leading order QCD predictions and variations of parton distributions. The data has an additional 10% systematic uncertainty, which is nearly 100% correlated point to point and includes normalization uncertainties.